

結晶構造と変える格子システムの数学的モデル

筑波大 数学系 黒田耕嗣

§ 0 Introduction

密度の大小に応じて結晶構造が変化するという現象が、液体結晶(異性液体)等においてしばしば現われている。例えば、石けんと水に溶かした時、重量濃度が小さい時には系は分散系であるが、30%位の濃度においては柱状の結晶構造をとり、60%位の濃度においては層状の結晶構造をとる。この時、石けん分子の親水性部分は水のうき、疎水性部分は脂質のうきと同く様にして結晶構造が構成されている。さらに、重量濃度が85%位になると系はgel状態になる。

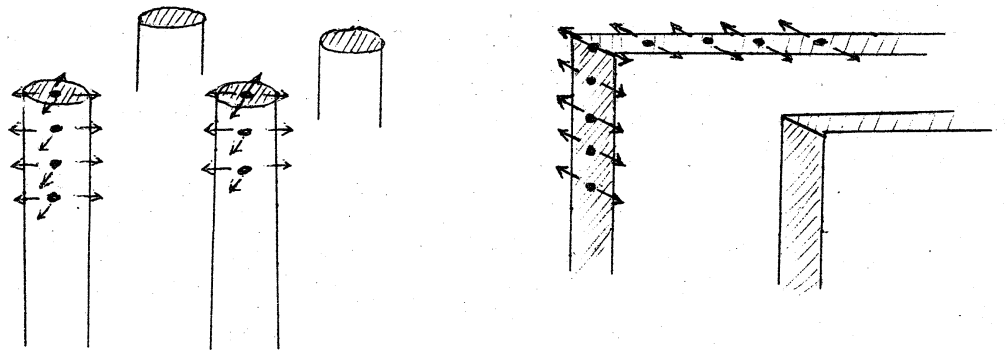
ここでは、この様子を密度の大小に応じて結晶構造を変えらるという現象と格子 model を用いて説明しよう。

格子 model における phase transition の確率論的側面からの研究は、Dobrushin [1], Lanford, Ruelle [10], 等による。始められ、その後 Minlos, Sinai [1], [2], Gallavotti, Miracle-Sole [7]

Russo, Higuchi, Eisenmann 等により数多くの興味ある結果がえ
 されてきている。

特に、[1], [2] では、Minlos, Sinai は Ising model にあ
 り、contours の correlation functions のさまざまな評価を用いて、
 phase separation (相分離) の問題を数学的に厳密な形で解
 いている。我々の model では、Ising model にあたる contour と同様
 の概念にある Bloch-wall と定義し、その correlation function を用
 い、disordered region $D(\beta)$ の大きさの評価する事によつて、
 上で述べた現象を説明しよう。

Fig. 1



柱構造

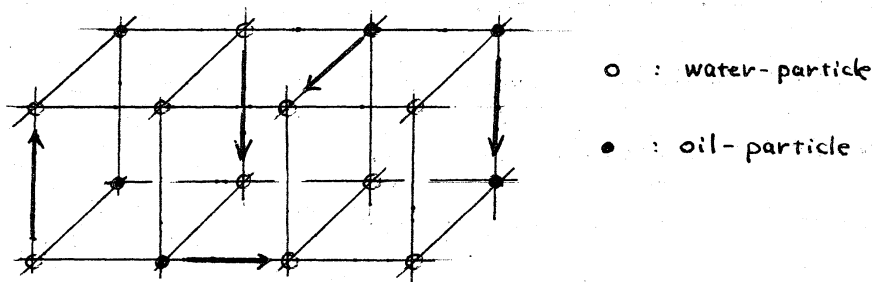
層構造

● : 脂質 ↑ : 石けん分子
 ↑ --- 親水性部分
 --- 疎水性部分

§ 1 Model の設定

3次元格子 \mathbb{Z}^3 を考える。system は oil-particle, water-particle, soap-molecule と呼ばれる3種の粒子より構成され、各 site 上には oil-particle, water-particle のいずれかが配置され、bond 上には soap-molecule が配置されるとする。(soap-molecule が配置されたいない bond が存在する事に注意。) この時、soap-molecule を矢印 \uparrow で表わし、矢の先端部を親水基、矢の尾部を疎水基とあると考える。(Fig. 2 参照)

Fig. 2



粒子間には $\langle \text{Interaction} \rangle$ によって与えられる前に、格子 model に因する基本的な notations によって述べておく。
 $x, y \in \mathbb{Z}^3$ の間の Euclidean distance を $|x - y|$ で表わし、 $|x - y| = 1$ の時、 x と y は隣接していると言う。
 \mathbb{Z}^3 の bounded subset V が与えられた時、 $\forall x, y \in V$ に

4

対して, $x_0 = x, x_1, x_2, \dots, x_n = y; |x_i - x_{i+1}| = 1$
 $(i = 0, 1, 2, \dots, n-1)$ とある path (x_0, x_1, \dots, x_n) がと
 れる時, V は connected であると呼ばれる. 又 bounded
 subset V に対して

$$\partial V = \{ x \in V^c; |x - y| = 1 \text{ for some } y \in V \}$$

$$\partial_{in} V = \{ x \in V; |x - y| = 1 \text{ for some } y \in V^c \}$$

と置く. bond A と bond B が一点で接しており, $\angle > 90^\circ$
 交している時, pair $(A, B) \in$ perpendicular pair of bonds
 と呼ぶ.

以下簡単のためは, oil-particle を o -particle, water-
 particle を w -particle, soap-molecule を s -molecule で表
 わす. Z^3 における sites と bonds の全体を T で表わし, T
 上は configuration space Ω と定義する. configuration $\omega \in \Omega$
 に対して, $\omega(z) = w$ ($z \in T$) は site $z \in T$ の上は w -
 particle が存在している事を表わしており, 又 $\omega(t) = \emptyset$
 は bond $t \in T$ の上は soap-molecule が存在していない事を表わ
 している.

粒子間の interaction は 2-粒子間のみになり, 平行移動で
 不変とする. 粒子間の配向性等を考慮する事により, interaction
 を次の様に定める.

1) O-particles, W-particles の間に働く interaction.

O-particle と O-particle, W-particle と W-particle, O-particle と W-particle の間には次の様な interaction を設定する.

$$U_{O,O}(r) = U_{W,W}(r) \equiv 0$$

$$U_{O,W}(r) = \begin{cases} \epsilon_0 > 0 & \text{if } |r|=1 \\ 0 & \text{otherwise} \end{cases}$$

つまり、O-particles 同士、W-particles 同士の間には interaction が働かず、O-particle と W-particle の間には nearest neighbour repulsive interaction が働いている。

2) O-particle, W-particle と S-molecule の間に働く interaction

2-1) O-particle と S-molecule の疎水基が接している時と、

W-particle と S-molecule の親水基が接している時には $-\epsilon_0$

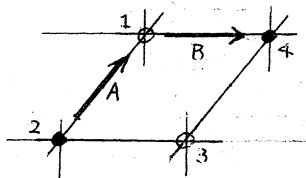
の attractive な interaction が働く。

2-2) O-particle と S-molecule の親水基が接している時と

W-particle と S-molecule の疎水基が接している時には、

$2\epsilon_0$ の repulsive な interaction が働く。

Fig. 3



6

Fig. 3 にかいて A といい S-molecule と 1 といい w-particle の間、及び A と 2 といい o-particle の間には $-\epsilon_0$ の attractive interaction が働いている。又 B と 4 の間、B と 1 の間には $2\epsilon_0$ の repulsive interaction が働いている。

3) 平行な bonds 上にある S-molecules 間には働く interaction

平行な 2 本の bonds 上におかれた S-molecules の間には、2 つの S-molecules が同じ方向を向いている場合には、attractive interaction が働き、逆の方向を向いている時には、repulsive interaction が働くとする。そしてその interaction energy は 2 つの bonds 間の距離に応じて、次の Fig. 4 に示された様になると思われるとする。

Fig. 4

distance	1	$\sqrt{2}$	2
attractive	$-\epsilon_1$	$-\epsilon_3$	$-\epsilon_5$
repulsive	ϵ_2	ϵ_4	ϵ_6

Fig. 5

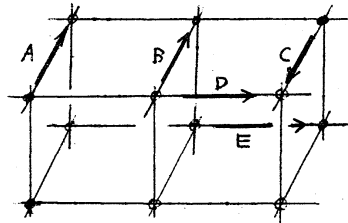
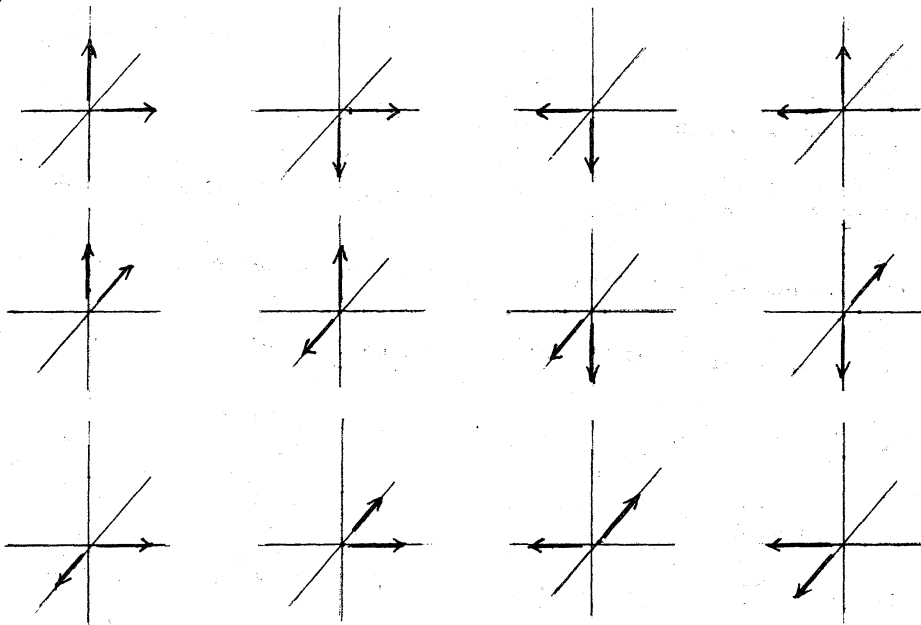


Fig. 5 にかゝり、 AB 間には $-E_1$ 、 BC 間には E_2 、 AC 間には E_4 、 DE 間には $-E_3$ の interaction が働いてゐる。

4) perpendicular pair of bonds 上にあつた二つの S -molecules 間には $<$ interaction .

Fig. 6 に示された二つの types の soap-molecules 間には $-E_7$ の attractive interaction が働き、これ以外に perpendicular pair of bonds 上にあつた二つの S -molecules 間には E_8 の repulsive interaction が働く。

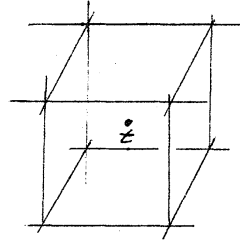
Fig. 6



5) 0 -particle は 8μ の chemical potential を与え、他の粒子には chemical potential を与えない。

以上の粒子間における interaction の設定は終了した。次は block energy, block configuration の概念を導入する。 S と \mathbb{Z}^3 の dual lattice とし、Fig. 7 の様な unit cube における sites と bonds の集合を "block" と呼ぶ。この block を block の中心の site $z \in S$ で表わす。

Fig. 7.



Σ を一つの block における configurations の全体とする。一つの block は 8 の sites と 12 本の bonds より成り、各 site には 0 は 0 -particle, w -particle の 2通りの場合が考えられ、各 bond には 0 は 2種類の S -molecules の内のいずれかが存在し、 1 は 1 が存在し、 2 は 2 の場合が考えられ、

$$\# \Sigma = 2^8 \cdot 3^{12} \quad \text{と} \quad \text{する。}$$

$\bar{\Omega} = \sum^S$ とおき、 $\omega \in \bar{\Omega}$ に対し 7 任意の隣接する blocks の pair (z_1, z_2) に対し

$$\omega(z_1) | z_1 \cap z_2 = \omega(z_2) | z_1 \cap z_2 \quad (\omega \in \bar{\Omega})$$

が成り立つ時、 ω は consistent 7" あると言ふ。

$$\hat{\Omega} = \{ \omega \in \bar{\Omega} : \omega : \text{consistent} \} \quad \updownarrow$$

とおく。 $\hat{\Omega}$ と本来の configuration space Ω との間には 1 対 1 の対応がとく。

$\varepsilon_1, \varepsilon_2, \varepsilon_7, \varepsilon_8$ - pairs は 2 つの隣接する blocks に共有される。 molecule - particle pairs は 4 つの隣接する blocks に共有される。 以下を考慮して、block $t \in S$ の config. $\xi \in \Sigma$ である時の block t 内の粒子間の interaction energy $E_t(\xi)$ を次で定義する。

$$(1-1) \quad E_t(\xi) = \frac{1}{2} (-n_1(\xi)\varepsilon_1 + n_2(\xi)\varepsilon_2 - n_7(\xi)\varepsilon_7 + n_8(\xi)\varepsilon_8) \\ - n_3(\xi)\varepsilon_3 + n_4(\xi)\varepsilon_4 - \mu n(\xi) \\ + \frac{1}{4} (\text{total energy of particle - molecule pairs in } t)$$

ここで、 $n(\xi)$ 、 $n_i(\xi)$ は block t における θ -particles の数及び ε_i -pairs の数を表す。

$\xi \in \hat{\Omega}$ に対して隣接 blocks (z_1, z_2) の間の mutual interaction energy $E_{z_1, z_2}(\xi)$ を次で定義する。

$$(1-2) \quad E_{z_1, z_2}(\xi) = \frac{1}{2} (-n_5(\xi)\varepsilon_5 + n_6(\xi)\varepsilon_6)$$

ここで、 $n_5(\xi)$ 、 $n_6(\xi)$ は $z_1 \cup z_2$ における ε_5 -pairs、 ε_6 -pairs の数を表す。

さして $\xi \in \hat{\Omega}$ の下での block t の block energy $E(z; \xi)$ を

$$(1-3) \quad E(t; \xi) = E_t(\xi(t)) + \frac{1}{2} \sum_{S: |t-s|=1} E_{t,s}(\xi)$$

に よ り 入 り 入 り 。

bounded set $V \subset S$ に つ い て . V に お い て consistent config.

の 全 体 を $\hat{\Omega}_V$ で 表 わ す . $\xi \in \hat{\Omega}_V$ $\omega \in \hat{\Omega}$ に つ い て

$$(\xi, \omega)(t) = \begin{cases} \xi(t) & t \in V \\ \omega(t) & \text{otherwise} \end{cases}$$

と お く . $(\xi, \omega) \in \hat{\Omega}$ と な る 時 . $\xi \in \hat{\Omega}_V$ と ω に 関 し て

consistent 7" あ る と 言 う . $\hat{\Omega}_{V, \omega}$ と ω に 関 し て consistent 7"

config. $\xi \in \hat{\Omega}_V$ の 全 体 と す る .

$\hat{\Omega}_{V, \omega}$ 上 に 次 の 様 に Gibbs measure $P_{V, \omega}(\cdot)$ と 定 義 す る .

$$(1-4) \quad P_{V, \omega}(\xi) = \frac{1}{Z_V(\omega)} \exp \{ -\beta U_V(\xi | \omega) \}$$

に つ い て .

$$(1-5) \quad U_V(\xi | \omega) = \sum_{z \in V \cup \partial V} E(z; (\xi, \omega))$$

$$(1-6) \quad Z_V(\omega) = \sum_{\xi \in \hat{\Omega}_{V, \omega}} \exp \{ -\beta U_V(\xi | \omega) \}$$

$\hat{\Omega}$ 上 の random field $\{X_t : t \in S\}$ は Gaussian random field

def

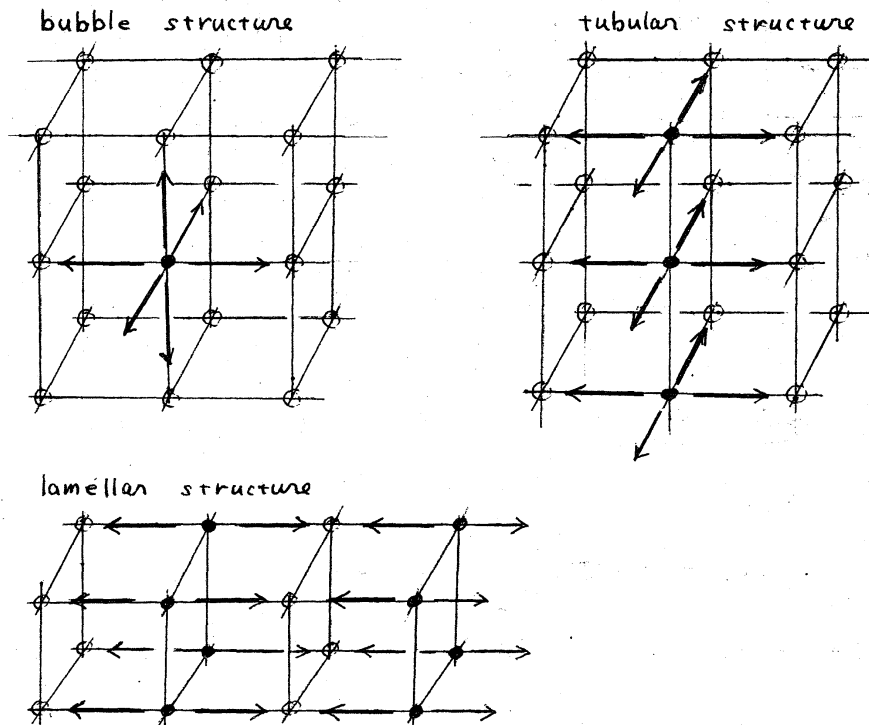
$\Leftrightarrow \forall V \subset S : \text{bounded}$ に つ い て

$$P_r \{ X_t = \xi(t) : t \in V \mid X_t = \omega(t) : t \in S \setminus V \} = P_{V, \omega}(\xi) \quad \forall \xi \in \hat{\Omega}_{V, \omega} \text{ a.a. } \omega$$

§ 2 Main Results

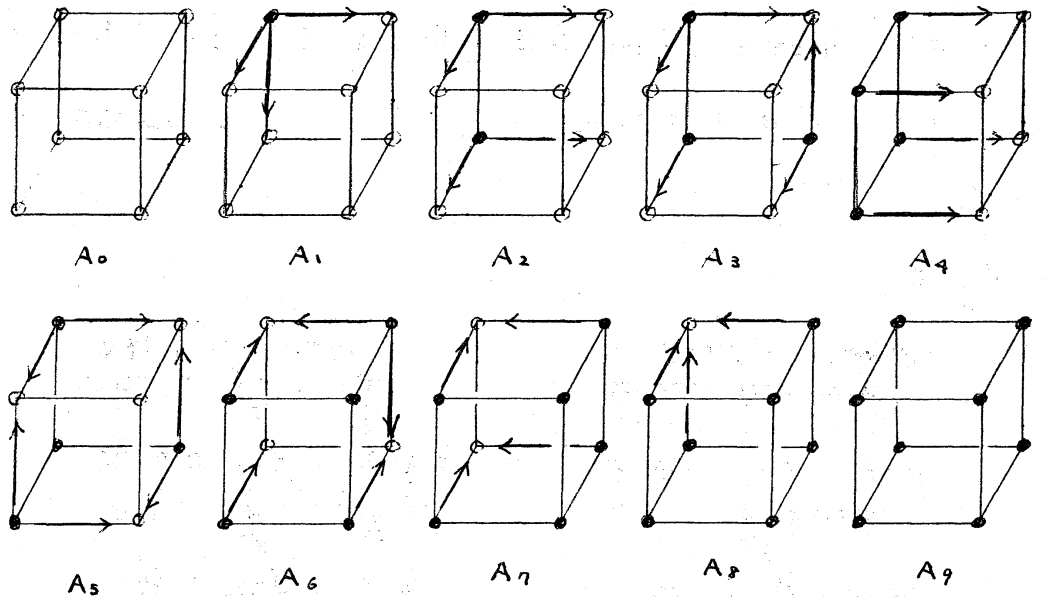
この § に お いて、我々の考へて いる model の 0 -particle の chemical potential μ が 増加 する に 従 っ て、bubble structure が tubular structure, lamellar structure と 構造 を 変 化 さ せ る 事 を 示 せ る。こ の 様 に bubble structure, tubular structure, lamellar structure と は Fig. 8 に 示 さ れ て いる 様 な periodic config. の 事 である。さ ら に こ の § で は、 $V \rightarrow \mathbb{Z}^3$, $N \rightarrow \infty$, $\frac{N}{V} \rightarrow n^*$ と し た 時 の canonical Gibbs 測 度 の 漸 近 的 な 挙 動 に つ い て と 調 べ る。こ の 時 n^* は 0 -particles の 密 度、 N は 0 -particles の 数 である。

Fig. 8



まず最初は、この様な config. の下で各 block の block energy が最小になるかと調べる。ε₀, ε₂, ε₄ が他の interaction parameters に比べて十分大きいとすると、Σ ∈ Σ が Fig. 9 に示されている A₀ から A₉ の 10 の types の config. のどれかと一致する時のみ、E_t(Σ) は最小値をとることが分かる。

Fig. 9.



$\Sigma_i \subset \Sigma$ ($i = 0, 1, \dots, 9$) と A_i-type の config. の全体とすると、

$$\begin{aligned} \#(\Sigma_0) &= \#(\Sigma_9) = 1, & \#(\Sigma_1) &= \#(\Sigma_3) = \#(\Sigma_5) = \#(\Sigma_6) \\ &= \#(\Sigma_8) = 8, & \#(\Sigma_2) &= \#(\Sigma_7) = 12, & \#(\Sigma_4) &= 6 \end{aligned}$$

となる。

$$\Pi_i = \{ \omega \in \hat{\Omega} \ ; \ \omega(z) \in \Sigma_i \ \text{for} \ \forall z \in S \}$$

とおく。 Π_i の各 element は periodic な config を作り、 Π_i の elements の数と Σ_i の elements の数は等しくなる。又 Fig. 8 Fig. 9 が示明する如く様に、 Π_1 、 Π_2 、 Π_4 の各 element はそれぞれ bubble, tubular, lamellar structure を表わす。

以下に示す 7 個の interaction parameters $\varepsilon_0 \sim \varepsilon_6$ は条件

(C-0) $\varepsilon_0, \varepsilon_2, \varepsilon_4$ は他の parameters に比べて十分大きい

に満たす。次の 3 つの条件 (C-1) ~ (C-3) を満たすとする。

$$(C-1) \quad 3\varepsilon_2 + 4\varepsilon_1 > 3\varepsilon_7 + 2\varepsilon_3 + 2\varepsilon_5$$

$$(C-2) \quad \varepsilon_1 + \varepsilon_5 > 2\varepsilon_3$$

$$(C-3) \quad \text{Min}(\varepsilon_1 + \varepsilon_5 + \varepsilon_2, 2\varepsilon_1 + 3\varepsilon_3 + \varepsilon_5) > \varepsilon_7 > 2\varepsilon_1 + \varepsilon_5$$

この時、次の 1) ~ 3) が成立する。

$$1) \quad \mu \in K_1 \equiv [0, \mu_1)$$

$$\Rightarrow E(t; \omega_1) < E(t; \omega) \ \text{for} \ \forall \omega_1 \in \Pi_1, \ \forall \omega \in \hat{\Omega} \setminus \Pi_1$$

$$2) \quad \mu \in K_2 \equiv (\mu_1, \mu_2)$$

$$\Rightarrow E(t; \omega_2) < E(t; \omega) \ \text{for} \ \forall \omega_2 \in \Pi_2, \ \forall \omega \in \hat{\Omega} \setminus \Pi_2$$

$$3) \quad \mu \in K_3 \equiv (\mu_2, \mu_3)$$

$$\Rightarrow E(t; \omega_3) < E(t; \omega) \ \text{for} \ \forall \omega_3 \in \Pi_4, \ \forall \omega \in \hat{\Omega} \setminus \Pi_4$$

ここで

$$\mu_1 = \frac{1}{2}\varepsilon_7 - \varepsilon_1 - \frac{1}{2}\varepsilon_5, \quad \mu_2 = \frac{1}{2}\varepsilon_7 - \frac{1}{2}\varepsilon_1 - \varepsilon_3, \quad \mu_3 = \frac{1}{2}\varepsilon_1 + \varepsilon_3 + \frac{1}{2}\varepsilon_2$$

$$\Pi_i = \{ \omega_1^{(i)}, \omega_2^{(i)}, \dots, \omega_{N_i}^{(i)} \} \quad (i=1, 2, 4)$$

$$N_1 = 8, \quad N_2 = 12, \quad N_4 = 8 \quad \text{とおく.}$$

この時、次の定理が成り立つ。

Theorem 1 $\forall \mu \in K_i \quad (i=1, 2, 4)$ と fix する。 β を

十分大にとると、 N_i 個の相異なる極限 Gibbs measures

$P\omega_j^{(i)} \quad (j=1, 2, \dots, N_i)$ が存在して次をみたす。

$$P\omega_j^{(i)}(X_z = \omega_j^{(i)}(z) : z \in C) \geq 1 - g_i(\beta) \quad (i=1, 2, \dots, N_i)$$

ここで $\Gamma \subset C \subset S$ は finite set Γ $g_i(\beta)$ は $g_i(\beta) \downarrow 0$ as

$\beta \rightarrow \infty$ とする β の閾値がある。

次の結果を述べた前には、いくつかの言葉の定義をしてお

く。 bounded set V , boundary condition $\omega \in \Pi_1 \cup \Pi_2 \cup \Pi_4$ を任

意にとり fix する。 $\xi \in \hat{\Omega}_V, \omega$ に対して、

$$\xi(s) = \omega(s) \quad \text{for } \forall s \rightarrow |s - \tau| \leq 1$$

とすると block t を static block と呼ぶ。これ以外の block を active block と呼ぶ。 active blocks の全体を $B(\xi)$ と書く。

この時 $B(\xi)$ は connected components の family $\{B_1(\xi), \dots, B_{z(\xi)}(\xi)\}$

は unique に分解される。 connected component B_i とその上の

config. の組 $\bar{B}_i = (B_i, (\xi(t) : t \in B_i))$ を B-wall

と呼ぶ。 B-wall \bar{B} が他の B-wall に囲まれていない時

B は outer γ "あると呼ぶ"。2つの B -walls $\bar{B}_1 = (B_1, \xi(z) \in B_1)$
 $\bar{B}_2 = (B_2, \zeta(z) \in B_2)$ に対して B_1 が B_2 に translation T による
 γ 重ね合せができれば、 $\xi(z) = \zeta(T(z)) \quad z \in B_1$ が成り立つ
 時、 B_1 と B_2 は congruent γ "ある" と言う。 B -wall の congruence
 class を $\bar{\gamma}$ "表わす"。 congruence classes の全体を \mathcal{P} "表わす"。

$\xi \in \hat{\Omega}_{V,\omega}$ に対して、outer B -walls の outer boundaries によ
 γ 囲まれた region を "disordered phase" と呼ぶ $D(\xi)$ "表
 わす"。 $\times \quad O(\xi) = V \setminus D(\xi)$ を "ordered phase" と呼ぶ。

γ "囲まれた region の volume を $V(\gamma)$ "表わす"、 $\xi \in \hat{\Omega}_{V,\omega}$
 の下 γ の V における oil-particles の数を $N_{oil}(\xi)$ "表わす"。

$\beta, \mu, \quad j = 1, 2, 4$ に対して

$$\mathcal{G}^*(\beta, \mu) = \sum_{\bar{\gamma} \in \mathcal{P}} V(\gamma) P(\bar{\gamma} : \beta, \mu)$$

$$n_j^{**} = u_j - \sum_{\bar{\gamma} \in \mathcal{P}} (u_j V(\gamma) - \langle n(\bar{\gamma}) \rangle) P(\bar{\gamma} : \beta, \mu)$$

とおく。 $\therefore \therefore \gamma$ 。 $u_1 = \frac{1}{8} \quad u_2 = \frac{1}{4} \quad u_4 = \frac{1}{2}$,

$P(\bar{\gamma} : \beta, \mu)$ は $\bar{\gamma} \in \mathcal{P}$ の limiting correlation function .

$\langle n(\bar{\gamma}) \rangle$ は ensemble $\mathcal{Y}(\bar{\gamma} : \beta, \mu)$ における $N_{oil}(\cdot)$ の平均
 値 γ "ある"。 $P(\bar{\gamma} : \beta, \mu)$, $\mathcal{Y}(\bar{\gamma} : \beta, \mu)$ の定義は次の ξ "与えら
 れる"。 この ξ "は $\mathcal{G}^*(\beta, \mu) \downarrow 0$ exponentially , $n_j^{**}(\beta) \rightarrow u_j$

as $\beta \rightarrow \infty$ とする事だけ注意しておく。

canonical Gibbs measure $P_{V, \omega}^N(\cdot)$ と

$$P_{V, \omega}^N(\cdot) = P_{V, \omega}(\cdot \mid \text{Noil}(\mathbb{S}) = N)$$

によつて定義する。このとき、 $P_{V, \omega}^N(\cdot)$ は μ に independent とする事に注意。

$|D(\mathbb{S})|$ の漸近的挙動について、次の2つの結果が知られている。

Theorem 2 $\forall \mu \in K_i, \forall \omega \in \Pi_i \quad (i = 1, 2, 4)$ に対して
 $\exists f(\beta) \stackrel{\equiv}{=} g(\beta) \quad ; \quad f(\beta) \downarrow 0, g(\beta) \downarrow 0 \quad \text{as } \beta \rightarrow \infty$

$$(2-1) \quad P_{V, \omega}(|D(\mathbb{S})| - \mathcal{J}^{*(\beta)}|V| > f(\beta)|V|^{\frac{1}{2}}) < g(\beta)$$

$$(2-2) \quad P_{V, \omega}(|\text{Noil}(\mathbb{S}) - n_i^{**}|V| > f(\beta)|V|^{\frac{1}{2}}) < g(\beta)$$

for sufficiently large β .

Theorem 3 $\forall \omega \in \Pi_i \quad (i = 1, 2, 4) \quad \exists g(\beta) \downarrow 0 \quad \text{as } \beta \rightarrow \infty$

; $0 < \alpha < \frac{1}{2}$ なる任意の α と $|N - n_i^{**}(\beta, \mu)|V| < F_i(\beta)|V|^{\frac{1}{2}}$

($\mu \in K_i$) を満たす任意の N に対して、 β が十分に大きければ

時次の評価が成り立つ。

$$(2-3) \quad P_{V,\omega}^N (|D(\xi)| - \delta^*(\beta) |V| > g(\beta) |V|^{\frac{2}{3}+\alpha}) < C(\beta) \frac{1}{|V|^{2\alpha}}$$

$C(\beta)$: some const.

§ 3 Correlation functions of B-wall

この § 7 は、B-wall の correlation function を定義し、それらの性質を用いる事により Theorems の証明を行ふ。

finite cube $V \subset S$, boundary cond. $\omega \in \hat{\Omega}$ に對して、B-wall \bar{B} を B-wall $\tau \in \Delta_{V,\omega}$ の elements の全体を $\Delta_{V,\omega}(\bar{B})$ として表わす。この時、 \bar{B} の correlation function を

$$(3-1) \quad \tau_{V,\omega}(\bar{B}) = \frac{1}{Z_V(\omega)} \sum_{\xi \in \Delta_{V,\omega}(\bar{B})} \exp\{-\beta U_V(\xi; \omega)\}$$

として定義する。次に B-wall \bar{B} の energy $E(\bar{B})$ を

$$(3-2) \quad E(\bar{B}) = \sum_{\xi \in \bar{B}} E(\xi; \xi) \quad (\xi \in \Delta_{V,\omega}(\bar{B}))$$

として定める。以後、簡単のため、 $E(\xi; \xi) = \min_{\xi} E(\xi; \xi)$ と改め、 $E(\xi; \xi)$ として定める。この様な修正は、Gibbs meas. $P_{V,\omega}(\cdot)$ の定義は変化をうけない。

config. ξ の下での B-walls の全体を $B(\xi)$ として表わすと、

$\tau_{V,\omega}(\cdot)$ は次の様に表わされる。

$$(3-3) \quad \tau_{V, \omega}(\bar{B}) = \frac{1}{Z_V(\omega)} \sum_{\beta \in \Delta_{V, \omega}(\bar{B})} \prod_{\bar{B} \in B(\beta)} \exp(-\beta E(\bar{B}))$$

$\tau_{V, \omega}(\bar{B})$ に関する Heilmann の reflection method (See [3]) を用いると、次の評価がえられた。

$$(3-4) \quad \tau_{V, \omega}(\bar{B}) < \exp(-c_1 \beta |\bar{B}|)$$

ここで、 c_1 はある absolute const.

(3-4) を用いると、standard argument (以下)、Theorem 1 は直ちに導かれた。

次に outer B-walls の correlation function, & 其 correlation equation に関する証明。 V は S の finite subset として、 V の outer bdry. を囲まれた領域を $\theta(V)$ と書く。

$In(V) = \theta(V) \setminus V$ は V の inner region と呼ぶ。任意の $\mu \in K_2$, $\omega \in \Pi_2$ に対して、

$$\mathcal{T}_{V, \omega} = \{ B = (\bar{B}_1, \dots, \bar{B}_s) : \text{a family of B-walls in } V \text{ which doesn't enclose the inner region of } V \}$$

$$\mathcal{T}_{V, \omega}^{\text{out}} = \{ B = (\bar{B}_1, \dots, \bar{B}_s) : \text{a family of outer B-walls in } V \text{ which doesn't enclose the inner region of } V \}$$

と示す。この時 $B \in \mathcal{Y}_{V,\omega}$ or $\mathcal{Y}_{V,\omega}^{\text{out}}$ における各 outer B-wall は ω -type と呼ぶことに注意。

与えられた B-wall \bar{B} に対して \bar{B} の inner region は connected components $\{I_1(\bar{B}), \dots, I_{n(\bar{B})}(\bar{B})\}$ に decompose される。 $J_k(\bar{B}) = I_k(\bar{B}) \setminus \partial_{\text{in}} I_k(\bar{B})$ とおくと、 $\partial J_k(\bar{B}) = \partial_{\text{in}} I_k(\bar{B})$ における config. は \bar{B} によつて unique に決定される。そこで、これを $\omega_k(\bar{B}) \in \Pi_i$ と表わす。

$\mathcal{Y}_{V,\omega}^{\text{out}}$ 上に次の様な probability measure を定める。

$$P_{V,\omega}(B) = \frac{1}{Z(V,\omega)} \prod_{i=1}^s \exp(-\beta E(\bar{B}_i)) \prod_{k=1}^{n(\bar{B}_i)} Z(J_k(\bar{B}_i); \omega_k(\bar{B}_i))$$

と示す。

$$Z(J_k(\bar{B}); \omega_k(\bar{B})) = \sum_{B \in \mathcal{Y}_{J_k(\bar{B}), \omega_k(\bar{B})}} \prod_{\bar{B} \in B} \exp(-\beta E(\bar{B}))$$

outer B-walls の correlation function $\rho_{V,\omega}(\bar{B}_1, \dots, \bar{B}_s)$ と

$$\rho_{V,\omega}(\bar{B}_1, \dots, \bar{B}_s) = \sum_{B: B \supset \{\bar{B}_1, \dots, \bar{B}_s\}} P_{V,\omega}(B)$$

と定める。

(3-4) の場合と同様 12. Heilmann の reflection method を用いると、次の lemma がえされる。

Lemma 3.1 + 十分大なる β に対して 17.

$$\rho_{V, \omega}(\bar{B}_1, \dots, \bar{B}_s) \leq \prod_{i=1}^s \exp(-\beta c_i |B_i|)$$

を準備する。

Ising model の場合と同様 12. correlation functions の値には次の様な correlation equation が成り立つ。

$$(3-5) \left\{ \begin{array}{l} \rho_{V, \omega}(\bar{B}_1, \dots, \bar{B}_s) = \exp(-\beta E(\bar{B}_1)) \{ \rho_{V, \omega}(\bar{B}_2, \dots, \bar{B}_s) \\ + \sum_{R=1}^{\infty} \frac{(-1)^R}{R!} \sum_{V, R}^1 \rho_{V, \omega}(\bar{B}_2, \dots, \bar{B}_s, \bar{F}_{i_1}, \dots, \bar{F}_{i_R}) \\ - \sum_V^2 \rho_{V, \omega}(\bar{B}_2, \dots, \bar{B}_s, \bar{H}) \} \quad \text{if } s > 1 \\ \rho_{V, \omega}(\bar{B}_1) = \exp(-\beta E(\bar{B}_1)) \{ 1 \\ + \sum_{R=1}^{\infty} \frac{(-1)^R}{R!} \sum_{V, R}^1 \rho_{V, \omega}(\bar{F}_{i_1}, \dots, \bar{F}_{i_R}) - \sum_V^2 \rho_{V, \omega}(\bar{H}) \} \\ \text{if } s = 1 \end{array} \right.$$

$\sum_{V, R}^1$ は B_1 と intersect or touch する R 個の $\gamma_{V, \omega}^{\text{out}}$ の elements $(\bar{F}_{i_1}, \dots, \bar{F}_{i_R})$ に対して $R > 1$ とされる。

Σ^2_V は B_1 の interior region に含まれる $\Upsilon_{V,\omega}^{\text{out}}$ の element

\bar{H} に加わるとなる。

X_0 は次の様な infinite sequence of functions の集合とする。

$$\Phi = \{ \phi_1(\bar{B}_1), \phi_2(\bar{B}_1, \bar{B}_2), \dots, \phi_k(\bar{B}_1, \dots, \bar{B}_k), \dots \}$$

すなわち $\phi_k(\bar{B}_1, \dots, \bar{B}_k)$ は k -outer B -walls in $\Sigma^3(\bar{B}_1, \dots, \bar{B}_k)$

の函数である。

$$X = \{ \Phi \in X_0 ; |\Phi| < \infty \} \quad \text{と置く}$$

すなわち

$$|\Phi| = \sup_{\substack{s \geq 1 \\ s}} \left[\sup_{(\bar{B}_1, \dots, \bar{B}_s)} |\phi_s(\bar{B}_1, \dots, \bar{B}_s)| \prod_{i=1}^s \frac{\exp(C_1 \beta |B_{i1}|)}{2^{|B_{i1}|}} \right]$$

この時、 $(X, |\cdot|)$ は Banach space となる。

X 上の operator A を次のように定める。

$$(A\Phi)_s(\bar{B}_1, \dots, \bar{B}_s) = \exp(-\beta E(\bar{B}_1)) \{ \phi_{s-1}(\bar{B}_2, \dots, \bar{B}_s)$$

$$+ \sum_{k=1}^s \frac{(-1)^k}{k!} \sum_{\Sigma^3} \phi_{s-1+k}(\bar{B}_2, \dots, \bar{B}_s, \bar{F}_{i_1}, \dots, \bar{F}_{i_k})$$

$$- \sum_{\Sigma^2} \phi_s(\bar{B}_2, \dots, \bar{B}_s, \bar{H}) \}$$

($s=1$ の時 $\phi_0 = 0$ と定める)

$$A \in X \quad \&$$

$$A(\bar{B}_1, \dots, \bar{B}_s) = \begin{cases} \exp(-\beta E(\bar{B}_1)) & \text{if } s=1 \\ 0 & \text{otherwise} \end{cases}$$

1) 定め、

$$(3-7) \quad \rho_\omega = 1 + A \rho_\omega$$

3) equation を考えよ。これは infinite region に於ける correlation equation と呼ぶ。-3, X 上の operator $\chi_{V,\omega}$ と

$$(\chi_{V,\omega} \Phi)_s(\bar{B}_1, \dots, \bar{B}_s) = \prod_{i=1}^s \chi_{V,\omega}(\bar{B}_i) \phi_s(\bar{B}_1, \dots, \bar{B}_s)$$

$$\chi_{V,\omega}(\bar{B}) = \begin{cases} 1 & \text{if } B_1 \subset V \text{ and } \bar{B}_1 \text{ is } \omega\text{-type} \\ 0 & \text{otherwise} \end{cases}$$

1) 考えよと、 V に於ける correlation equation (3-5) は

$$(3-8) \quad \rho_{V,\omega} = \chi_{V,\omega} 1 + \chi_{V,\omega} A \chi_{V,\omega} \rho_{V,\omega}$$

と"i) 形"で表わされる。

Lemma 3-1 と同じように、 $\|A\|$ に同じ7次の等がえされる。

$$\underline{\text{Lemma 3-2}} \quad \|A\| < 1 \quad \text{for sufficiently large } \beta$$

Lemma 3-2 により infinite region に δ の correlation $\epsilon \delta$.

(3-7) は unique solution $f_\omega(\cdot)$ と $\epsilon > 0$ のため

limiting correlation function と呼ぶ。Minlos - Sinai (see [2])

が Ising model に適用する法を適用すると、 $f_{V,\omega}(\cdot)$

$f_\omega(\cdot)$ に近づく次の様な性質が導かれる。

Lemma 3.3

1). $(\bar{B}_1, \dots, \bar{B}_s)$ が ω -type τ の V に含まれる時。

$$(3-8) \quad |f_{V,\omega}(\bar{B}_1, \dots, \bar{B}_s) - f_\omega(\bar{B}_1, \dots, \bar{B}_s)|$$

$$< c_1(\beta) (2 \exp(-c_1 \beta))^{|B_1| + |B_2|} \exp\{-\beta(c_1 - \ln c_2) d(B_1, \dots, B_s; \partial V)\}$$

for sufficiently large β

を評価が成り立つ。ここで $d(B_1, \dots, B_s; \partial V)$ は

$B_1 \cup B_2 \cup \dots \cup B_s$ と ∂V との間の距離。

2). \bar{B}_1, \bar{B}_2 が ω -type τ の V に含まれる時。

$$(3-9) \quad |f_{V,\omega}(\bar{B}_1, \bar{B}_2) - f_{V,\omega}(\bar{B}_1) f_{V,\omega}(\bar{B}_2)|$$

$$< c_2(\beta) (2 \exp(-c_1 \beta))^{|B_1| + |B_2|} \exp\{-\beta(c_1 - \ln c_2) d(B_1, B_2)\}$$

for sufficiently large β

を評価が成り立つ。

Γ_ω は ω -type congruence classes の全体とすると、 $|D(S)|$ の expectation と variance は次の形に書かされる。

$$(3-10) \quad \langle |D(S)| \rangle_{V, \omega} = \sum_{\bar{\gamma} \in \Gamma_\omega} V(\gamma) \sum_{\substack{\bar{B} \in \bar{\gamma} \\ B \subset V}} f_{V, \omega}(\bar{B})$$

$$(3-11) \quad V_{V, \omega}(|D(S)|)$$

$$= \sum_{\substack{\bar{\gamma}_1, \bar{\gamma}_2 \in \Gamma_\omega \\ \bar{\gamma}_1 \neq \bar{\gamma}_2}} V(\gamma_1) V(\gamma_2) \sum_{\substack{\bar{B}_1 \in \bar{\gamma}_1 \\ \bar{B}_2 \in \bar{\gamma}_2}} |f_{V, \omega}(\bar{B}_1) f_{V, \omega}(\bar{B}_2) - f_{V, \omega}(\bar{B}_1) f_{V, \omega}(\bar{B}_2)| \\ + \sum_{\bar{\gamma} \in \Gamma_\omega} V(\gamma)^2 \sum_{\substack{\bar{B} \in \bar{\gamma} \\ B \subset V}} f_{V, \omega}(\bar{B}) (1 - f_{V, \omega}(\bar{B}))$$

Noil (S) に ついてと同様の表式が与えられる。 Lemma 3.3 を用いる事により次の Prop. が成り立つ。

Prop 3-1 $\forall \omega \in \Pi: \forall \mu \in K: n$ が十分大になると

と、次の 1) ~ 4) が成り立つ。

$$1) \quad | \langle \text{Noil} \rangle_{V, \omega, \mu} - n \epsilon^{**} |V| | < F_1(\beta) |V|^{\frac{1}{2}}, \quad F_1(\beta) \downarrow 0 \text{ exponentially as } \beta \rightarrow \infty.$$

2) $|\langle D \rangle_{V, \omega, \mu} - \mathcal{J}^*(\beta, \mu) |V| | < F_2(\beta) |V|^{\frac{1}{2}}$, $F_2(\beta) \downarrow 0$ exponentially as $\beta \rightarrow \infty$

3) $V_{V, \omega, \mu}(\text{Noil}) < F_3(\beta) |V|$, $F_3(\beta) \downarrow 0$ exponentially as $\beta \rightarrow \infty$

4) $V_{V, \omega, \mu}(D) < F_4(\beta) |V|$, $F_4(\beta) \downarrow 0$ exponentially as $\beta \rightarrow \infty$.

(Proof of Theorem 2)

$m(\beta)$ は 2.1 の 1), 2) とおける関数とす。

1) $m(\beta) \downarrow 0$ as $\beta \rightarrow \infty$

2) $F_4(\beta) / m^2(\beta) \downarrow 0$ as $\beta \rightarrow \infty$.

$f(\beta) = F_2(\beta) + m(\beta)$ とおす。

Prop 3-1 と Chebyshev's inequality とす。

$$(3-12) \quad P_{V, \omega} (|ID(\beta)| - \delta^* |V| > f(\beta) |V|^{\frac{1}{2}})$$

$$< P_{V, \omega} (|ID(\beta)| - \langle ID(\beta) \rangle_{V, \omega} > m(\beta) |V|^{\frac{1}{2}})$$

$$< F_4(\beta) / m^2(\beta) \downarrow 0 \quad \text{as } \beta \rightarrow \infty.$$

□ e. d.

Theorem 3 の証明は次の通り。次の Prop に注意すれば、
Theorem 2 の証明と同様にして証明できる。

Proposition 3-2 $\forall \mu \in K; \quad \forall \omega \in \Pi; \quad \text{if } \beta \text{ is sufficiently large, then the following holds.}$

$$(3-13) \quad P_{V, \omega} (\text{Noil}(\beta) = N) > C_3(\beta) \frac{1}{|V|^{\frac{1}{2}}}$$

ここで、 N は $|N - n;^* |V|| < F_1(\beta) |V|^{\frac{1}{2}}$ を満たす任意の positive integer N であり、 $C_3(\beta)$ は $C_3(\beta) \downarrow 0$ as $\beta \rightarrow \infty$ である。

References

- [1] Minlos, R. A., Sinai, Ja. G. : Math. Sbornik, 73, 115 (1967)
- [2] _____, _____ ; Trans. Moskow Math. Soc.
19, 121 (1968)
- [3] Heilmann, O. J. ; Commun. math. Phys. 36 91 (1974)
- [4] Gertsik, V. M., Dobrushin, R. L. ; Funkts. Analiz. 8, 12 (1972)
- [5] Tachibana, T., Kobayashi, K., Suzuki, H., Honda, K.,
Sukigara, M., ; 「液晶」 共立出版 (1972)
- [6] Miyamoto, M. ; 「格子気体の相転移」 Seminar on
prob. (1972)
- [7] Gallavotti, G., Miracle-Sole, S. ; Commun. math. Phys.
27, 103 (1972)
- [8] Abraham, D. B., Heilmann, O. J. ; J. stat. Phys. 4
15 (1972)
- [9] _____, _____ ; J. stat. Phys. 13, 6,
461 (1975)
- [10] Ruelle, D. ; Statistical mechanics. Rigorous results.
, New York ; Benjamin (1969)
- [11] Dobrushin, R. L. ; Funct. Anal. Appl. 8, 302 (1968)